

Краткие сообщения

01:04:10

Инварианты движения заряда в поле циркулярно поляризованной волны

© В.Н. Комаров

Саратовский государственный университет,
410601 Саратов, Россия
e-mail: komarov vn@mail.ru

(Поступило в Редакцию 25 июля 2006 г. В окончательной редакции 14 мая 2005 г.)

Решением уравнений Гамильтона получены шесть интегралов движения релятивистского заряда в поле поперечной циркулярно поляризованной электромагнитной волны, распространяющейся с фазовой скоростью $u > c$. На их основе в неподвижной системе координат анализируется траектория заряда в зависимости от фазы волны. Координаты и фаза связаны эллиптическими функциями.

PACS: 45.10.Ij, 52.20.Dq, 52.27.Ny, 52.65.Cc

Известно движение заряда в поле циркулярно поляризованной волны, распространяющейся в фазовой скоростью $u = c$ в системе отсчета, в которой заряд в среднем покоятся [1]. Оно может быть также описано инвариантами движения, которые проще соображения по решению релятивистских уравнений движения заряда в разнообразных полях приведены в [2]. В бесстолкновительной плазме фазовая скорость волны $u > c$, и представляет интерес анализ траектории заряда для этого случая.

Предположим, что циркулярно поляризованная волна задана векторным потенциалом

$$\mathbf{A}(\xi) = -\frac{cE}{\omega} (\mathbf{i} \sin \xi - g \mathbf{j} \cos \xi), \\ \xi = \omega t - kz, \quad g^2 = 1. \quad (1)$$

— функция Гамильтона релятивистского заряда в электромагнитном поле имеет вид

$$H = \sqrt{m^2 c^4 + c^2 \left(\mathbf{P} - \frac{e}{c} \mathbf{A}(\xi) \right)^2}, \quad \mathbf{P} = \mathbf{p} + \frac{e}{c} \mathbf{A}, \quad (2)$$

откуда получим систему канонических уравнений

$$\begin{aligned} \frac{dx}{dt} &= \frac{c^2 p_x}{\varepsilon}, \quad \frac{dy}{dt} = \frac{c^2 p_y}{\varepsilon}, \quad \frac{dz}{dt} = \frac{c^2 p_z}{\varepsilon}, \\ \frac{dp_x}{dt} &= eE \left(1 - \frac{v_z}{u} \right) \cos \xi, \\ \frac{dp_y}{dt} &= eE \left(1 - \frac{v_z}{u} \right) g \sin \xi, \\ \frac{dp_z}{dt} &= \frac{eE}{u} (v_x \cos \xi + v_y g \sin \xi). \end{aligned} \quad (3)$$

Здесь $\varepsilon = \sqrt{m^2 c^4 + c^2 \mathbf{p}^2}$ — релятивистская энергия, Четвертое и пятое уравнения приводят к интегралам

$$p_x - \frac{eE}{\omega} \sin \xi = \Psi_1, \quad p_y + g \frac{eE}{\omega} \cos \xi = \Psi_2. \quad (4)$$

Из четвертого и пятого уравнения выразим тригонометрические функции и подставим в шестое. Интегрирование полученного соотношения дает

$$\varepsilon - up_z = \Psi_3. \quad (5)$$

Приведенные интегралы хорошо известны [3,4].

Из интеграла Ψ_3 найдем

$$p_z = \frac{cX - u\Psi_3}{u^2 - c^2}, \quad X = \sqrt{\Psi_3^2 + (u^2 - c^2)(m^2 c^2 + p^2)}, \\ p^2 = p_x^2 + p_y^2. \quad (6)$$

Знак „+“ перед корнем выбирается в соответствии с конечным пределом при $u \rightarrow c$. Поперечный импульс p выразим через найденные интегралы, тогда

$$X(\xi) = \sqrt{\Psi_3^2 + (u^2 - c^2) \left[m^2 c^2 + \Psi_1^2 + \Psi_2^2 + \left(\frac{eE}{\omega} \right)^2 + 2 \frac{eE}{\omega} (\Psi_1 \sin \xi - \Psi_2 g \cos \xi) \right]}. \quad (7)$$

Из проекций импульсов (4) и (6) сообразуем релятивистскую энергию

$$\varepsilon = \frac{ucX - \Psi_3 c^2}{u^2 - c^2}. \quad (8)$$

В первые три уравнения системы (3) подставим импульсы (4) и (6) и энергию (8), тогда получим

$$\begin{aligned} \frac{dx}{dt} &= \frac{c^2(u^2 - c^2)}{ucX - \Psi_3 c^2} \left(\frac{eE}{\omega} \sin \xi + \Psi_1 \right), \\ \frac{dy}{dt} &= \frac{c^2(u^2 - c^2)}{ucX - \Psi_3 c^2} \left(\Psi_2 - \frac{eE}{\omega} g \cos \xi \right), \\ \frac{dz}{dt} &= c^2 \frac{cX - u\Psi_3}{ucX - \Psi_3 c^2}. \end{aligned} \quad (9)$$

Перейдем к дифференцированию по фазе с использованием скорости $\frac{dz}{dt}$ из (9)

$$\frac{dx}{dt} = kc \frac{(u^2 - c^2)X}{ucX - \Psi_3 c^2} \frac{dx}{d\xi}. \quad (10)$$

После преобразований получим

$$\begin{aligned} \frac{dx}{d\xi} &= \frac{c \left(\frac{eE}{\omega} \sin \xi + \Psi_1 \right)}{kX(\xi)}, & \frac{dy}{d\xi} &= \frac{c \left(\Psi_2 - \frac{eE}{\omega} g \cos \xi \right)}{kX(\xi)}, \\ \frac{dz}{d\xi} &= \frac{c(cX - u\Psi_3)}{kX(\xi)(u^2 - c^2)}. \end{aligned} \quad (11)$$

Интегрирование этих уравнений приводит к зависимости координат от фазы через эллиптические интегралы.

Уравнение Гамильтона–Якоби также позволяет найти зависимость координат от фазы и имеет вид

$$\frac{\partial S}{\partial t} + H = 0. \quad (12)$$

Для гамильтониана (2) после преобразований оно записывается в виде

$$\begin{aligned} \left(\frac{\partial S}{\partial t} \right)^2 &= m^2 c^4 + c^2 \left[\left(\frac{\partial S}{\partial x} \right)^2 + \left(\frac{\partial S}{\partial y} \right)^2 + \left(\frac{\partial S}{\partial z} \right)^2 \right] \\ &\quad - 2ce \left[\frac{\partial S}{\partial x} A_x + \frac{\partial S}{\partial y} A_y \right] + e^2 (A_x^2 + A_y^2). \end{aligned} \quad (13)$$

Если векторный потенциал зависит от фазы, то полный интеграл сравнения ищется в виде

$$S = F(\xi) + bx + dx + az.$$

Продольная координата z в фазу входит с фиксированным весовым множителем k , так что часть зависимости от продольной координаты входит в фазу, другая часть входит в линейную зависимость с произвольным множителем a . Функция $F(\xi)$ подлежит определению.

Подстановка полного интеграла в уравнение дает

$$\begin{aligned} \left(\frac{\partial F}{\partial \xi} \right)^2 \omega^2 \left(1 - \frac{c^2 k^2}{\omega^2} \right) + 2akc^2 \frac{\partial F}{\partial \xi} &= m^2 c^4 \\ + c^2(b^2 + d^2 + a^2) - 2cebA_x - 2cedA_y + e^2(A_x^2 + A_y^2). \end{aligned} \quad (14)$$

Решив квадратное уравнение, получим

$$\frac{\partial F}{\partial \xi} = \frac{u^2}{2\omega^2(u^2 - c^2)} [-2akc^2 \pm Q], \quad (15)$$

$$Q = \sqrt{4a^2 k^2 c^4 + 4\omega^2 \frac{u^2 - c^2}{u^2} (m^2 c^4 + c^2(b^2 + d^2 + a^2) - 2cebA_x - 2cedA_y + e^2(A_x^2 + A_y^2))}.$$

После интегрирования имеем

$$F = \frac{u^2}{2\omega^2(u^2 - c^2)} \left[-2akc^2 \xi - \int Q d\xi \right]. \quad (16)$$

Гамильтониан (2) принимает положительные значения, поэтому $\frac{\partial S}{\partial t}$ должна быть отрицательной, и при решении квадратного уравнения перед корнем выбирается знак минус. Не требуется перехода к новым переменным, как это сделано в [5]. Зная полный интеграл уравнения, можно найти импульсы и координаты. Энергию находим, дифференцируя действие по времени

$$\varepsilon = \frac{u^2}{2\omega(u^2 - c^2)} [2akc^2 + Q]. \quad (17)$$

Импульсы найдем, дифференцируя действие по координатам

$$\begin{aligned} \frac{\partial S}{\partial x} &= b = p_x + \frac{e}{c} A_x, & \frac{\partial S}{\partial y} &= d = p_y + \frac{e}{c} A_y, \\ \frac{\partial S}{\partial z} &= \frac{ku^2}{2\omega^2(u^2 - c^2)} [2akc^2 + Q] + a = p_z. \end{aligned} \quad (18)$$

Дифференцируя действие по параметрам, получим зависимость координат от фазы

$$\begin{aligned} x &= x_0 + \frac{u^2}{2\omega^2(u^2 - c^2)} \frac{\partial}{\partial b} \int Q d\xi, \\ y &= y_0 + \frac{u^2}{2\omega^2(u^2 - c^2)} \frac{\partial}{\partial d} \int Q d\xi, \\ z &= z_0 + \frac{u^2}{2\omega^2(u^2 - c^2)} \left[2kc^2 \xi + \frac{\partial}{\partial a} \int Q d\xi \right]. \end{aligned} \quad (19)$$

Начальные значения координат являются интегралами движения, константы a , $b = \Psi_1$, $d = \Psi_2$ имеют смысл начальных значений импульсов. Преобразуем выражение для X из (19)

$$\frac{u^2}{2\omega^2(u^2 - c^2)} \frac{\partial}{\partial b} \int Q d\xi = \frac{c}{k} \int \frac{\Psi_1 + \frac{eE}{\omega} \sin \xi}{X(\xi)} d\xi, \quad (20)$$

что совпадает с правой частью первого уравнения (11), преобразование для z производится с учетом $da = -\partial \Psi_3/u$.

Уравнения (11) позволяют получить зависимость координат от фазы, но интересна их зависимость от времени. Поэтому надо найти связь фазы и времени. Из определения фазы

$$t = \frac{1}{\omega} \left(\frac{u^2 \xi}{u^2 - c^2} - \frac{cu\Psi_3}{u^2 - c^2} \int \frac{d\xi}{X(\xi)} \right), \quad (21)$$

здесь использована зависимость $z(\xi)$ из (11).

В общем случае время от фазы зависит через эллиптический интеграл первого рода, а начальные поперечные импульсы Ψ_1 и Ψ_2 определяют значение модуля этого интеграла. Интегрирование в (11) и (21) упрощается: если $\Psi_1 = \Psi_2 = 0$, тогда X от фазы не зависит. Параметры Ψ_1 и Ψ_2 определяют начальные значения поперечных импульсов, это означает переход в подвижную систему координат в плоскости, перпендикулярной волновому вектору \mathbf{k} . Если поперечные скорости релятивистские,

то необходимо провести преобразования Лоренца. Они приведут к изменению поляризации и частоты волны, изменив направление и волновой вектор. Переход в такую подвижную систему не дает упрощений. В [6] указывается на целесообразность перехода в подвижную систему координат, если начальная скорость параллельна волновому вектору. Наиболее полно релятивистские преобразования плоской волны описаны в [2].

Положив $g = 0$, получим линейно поляризованную волну. Сохраняется импульс $p_y = \Psi_2$. Тогда из (6)

$$X_1(\xi) = \sqrt{\Psi_3^2 + (u^2 - c^2)[m^2c^2 + \Psi_2^2 + (\Psi_1 + \frac{eE}{\omega} \sin \xi)^2]}. \quad (22)$$

Даже при нулевых начальных импульсах Ψ_1 и Ψ_2 нельзя убрать зависимость X_1 от фазы. Время и фаза не могут быть связаны линейно для такой поляризации волны. Для нулевых поперечных начальных импульсов $\Psi_1 = \Psi_2 = 0$ из уравнений движения (11) получим радиус проекции траектории на плоскость, перпендикулярную волновому вектору

$$R = \frac{c}{k} \frac{eE}{\omega} \frac{1}{\sqrt{\Psi_{30}^2 + (u^2 - c^2)[m^2c^2 + (\frac{eE}{\omega})^2]}},$$

$$\Psi_{30} = \sqrt{m^2c^4 + c^2p_z^2 + c^2\left(\frac{eE}{\omega}\right)^2} - up_z. \quad (23)$$

Радиус окружности тем меньше, чем больше фазовая скорость отличается от скорости света в вакууме. Если $p_z \ll mc$, то

$$R = \frac{c}{\omega} \frac{eE}{\omega} \frac{1}{\sqrt{m^2c^2 + (\frac{eE}{\omega})^2}}.$$

При движении по искривленной траектории заряд испытывает ускорения, и происходит потеря энергии на излучение. Для одиночного заряда в вакууме в системе отсчета, в которой заряд в данный момент неподвижен, сила реакции излучения

$$f = \frac{2e^2}{3c^3} \left(\frac{d^2\mathbf{v}}{dt'^2} \right).$$

Она мала по сравнению с внешней электромагнитной силой, если длина волны намного больше размера заряда $\lambda \gg e^2/mc^2$ и напряженность магнитного поля $H \ll m^2c^3/he$ (h — постоянная Планка.)

В ультрарелятивистском случае может преобладать сила реакции излучения [1]. Мощность излучения заряда, движущегося в поле плоской электромагнитной волны с фазовой скоростью $u = c$, с помощью точных волновых функций Дирака подсчитана в [5]. В сильном поле волны имеется нелинейная зависимость электрической индукции от напряженности электрического поля волны $D(E)$. Ее можно разложить в ряд по напряженности электрического поля. Слагаемые с кубической

нелинейностью дают вклад на основной и утроенной частоте, и нелинейная система уравнений допускает точное решение в виде плоской волны, при этом дисперсионное уравнение содержит значения напряженности поля [7]

$$k^2 = \frac{\omega^2}{c^2} \epsilon + 2\eta E^2. \quad (24)$$

Здесь ϵ — линейная часть диэлектрической проницаемости среды, η — коэффициент, определяющий фокусирующую способность среды.

Возникновение нелинейности в газе свободных электронов рассмотрено в [8]. В дисперсионное соотношение, определяющее фазовую скорость поперечной электромагнитной волны, входит ленгмюровская частота. При большой амплитуде поля она зависит от фазовой скорости и амплитуды волны, массового числа иона и его заряда [9]. Все эти параметры будут определять фазовую скорость волны. Совместный анализ уравнений Максвелла и релятивистской гидродинамики электронной компоненты плазмы, находящейся в сильном электромагнитном поле волны, проведен в [10]. Амплитуда волны не должна быть столь большой, чтобы заметно не изменять свойства среды.

Представляет интерес сила, действующая на заряд. По векторному потенциалу (1) найдем поля

$$\mathbf{E} = E(\mathbf{i} \cos \xi + \mathbf{j} \sin \xi),$$

$$\mathbf{B} = \frac{cE}{\omega} k(-\mathbf{i} g \sin \xi + \mathbf{j} \cos \xi). \quad (25)$$

Сила Лоренца имеет проекцию вдоль волнового вектора

$$F_z = \frac{e}{c} (v_x B_y - v_y B_x). \quad (26)$$

Подставив проекции скоростей из уравнений (9), получим

$$F_z = \frac{e}{c} \frac{(u^2 - c^2)c^2}{ucX - \Psi_3 c^2} \frac{cEk}{\omega} \left(\frac{eE}{\omega} \sin \xi \cos \xi + \Psi_1 \cos \xi \right. \\ \left. + \Psi_2 g \sin \xi - \frac{eE}{\omega} g^2 \cos \xi \sin \xi \right), \quad (27)$$

Для циркулярно поляризованной волны $g^2 = 1$ и

$$F_z \sim \Psi_1 \cos \xi + \Psi_2 \sin \xi. \quad (28)$$

При произвольных Ψ_1 и Ψ_2 продольная компонента силы зависит от фазы и может менять знак, что приводит к переменной составляющей в зависимости $z(\xi)$. Если начальные условия — нулевые $\Psi_1 = \Psi_2 = 0$, то $F_z = 0$, продольный импульс p_z (6) сохраняется, как и в случае $u = c$ [1]. В линейно поляризованной волне $g = 0$, и продольная компонента силы

$$F_z \sim \left(\frac{eE}{\omega} \sin \xi + \Psi_1 \right) \cos \xi, \quad (29)$$

в которой имеются первая и вторая гармоника. Если $\Psi_1 = 0$, то наблюдается вторая гармоника и высшие

гармоники малой амплитуды, обусловленные зависимостью $X_1(\xi)$ в знаменателе (27), что совпадает с выводами [11]. Без учета релятивизма продольная скорость анализировалась в [12].

На рис. 1 и 2 показана зависимость координат релятивистского заряда от фазы циркулярно поляризованной волны. Вычисления проводились по формулам (11). интегралы подсчитывались методом прямоугольников. Шаг аргумента составлял $\Delta\xi = 0.314 \text{ rad}$. Фазовая скорость $u = 1.5 \text{ c}$. Частота $\omega = 6.28 \cdot 10^{10} \text{ rad/s}$. Численное значение $\frac{eE}{\omega} = mc$, $\Psi_3 = mc^2 = 9 \cdot 10^{-7} \text{ erg}$, где e и m — заряд и масса электрона. Если $\Psi_1 = \Psi_2 = 0$, то x и y описываются тригонометрическими функциями (рис. 1). Проекция траектории на плоскость, перпендикулярную волновому вектору, представляет окружность, по оси x смещенную на величину радиуса. Продольная координата z зависит линейно от фазы. Если одновременно Ψ_1 и Ψ_2 в нуль не обращаются, то изменение координат от фазы описывается эллиптическими функциями.

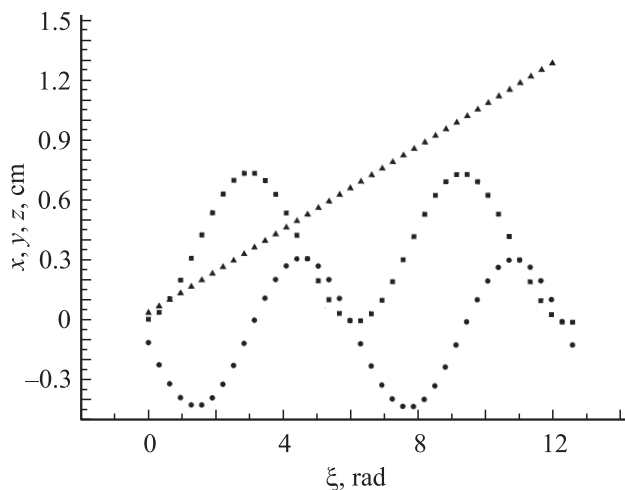


Рис. 1. Зависимость координат от фазы. ■ — координата x , ● — y , ▲ — z .

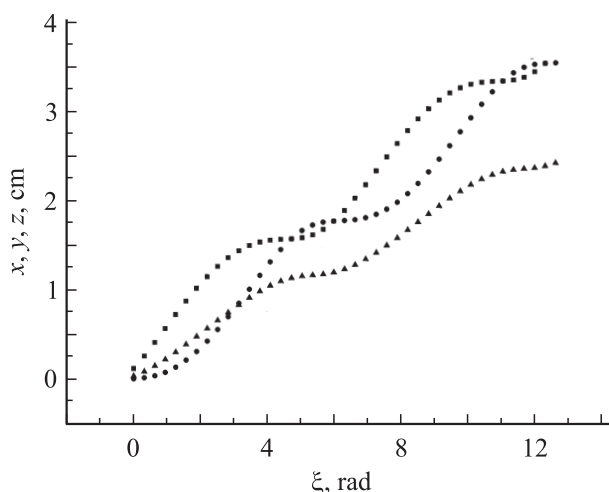


Рис. 2. То же, что для рис. 1.

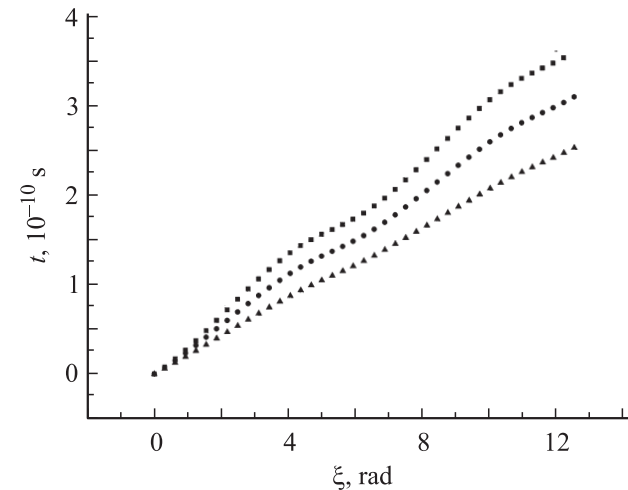


Рис. 3. Зависимость времени от фазы. ■ — $u = 1.1$, ● — 1.2 , ▲ — 1.5 s .

На рис. 2 $\Psi_1 = \Psi_2 = mc$. Из (11) видно, что поперечные координаты в общем случае имеют почти линейную зависимость от фазы с наложенными осцилляциями. С увеличением фазовой скорости волны увеличиваются значения $X(\xi)$ (7), линейный рост поперечных координат уменьшается, также уменьшается амплитуда их колебаний.

На рис. 3 показана зависимость времени от фазы при условии $\Psi_1 = \Psi_2 = mc$. Чем больше фазовая скорость волны, тем медленнее изменяется время от фазы. Из (21) и (7) видно, что для $\Psi_1 = \Psi_2 = 0$, зависимость $t(\xi)$ — линейная при всех значениях фазовой скорости волны.

В заданном поле циркулярно поляризованной плоской волны постоянной амплитуды, распространяющейся с фазовой скоростью $u > c$, в пренебрежении реакцией излучения, координаты x, y, z от фазы зависят через эллиптические интегралы. При нулевых начальных поперечных импульсах заряд в поперечной плоскости вращается по окружности, радиус которой зависит от фазовой скорости волны. Время t и фаза ξ связаны линейно, если начальные поперечные импульсы малы.

В циркулярно поляризованной волне в продольной проекции силы нет второй гармоники при любых начальных условиях. В линейно поляризованной волне вторая гармоника присутствует всегда. Зависимость $X(\xi)$ добавляет высшие гармоники в продольную проекцию силы, обусловленные отклонением фазовой скорости волны от скорости света в вакууме. При $u = c$ они не проявляются [1]. Известный интеграл движения Φ_3 здесь получен из решений уравнения Гамильтона–Якоби. Выше предполагалось, что частота волны удовлетворяет условию $h\omega \ll 2mc^2$, т. е. число зарядов сохраняется, и выполняется условие $\lambda = 2\pi/k \gg h/(2\pi mc)$, при котором справедлива классическая электродинамика.

Список литературы

- [1] *Ландau Л.Д., Либшиц Е.М.* Теория поля. М.: Наука, 1973. 504 с.
- [2] *Новожилов Ю.В., Янна Ю.А.* Электродинамика. М.: Наука, 1978. 352 с.
- [3] *Морозов А.И., Соловьев Л.С.* Вопросы теории плазмы. Т. 2. М.: Атомиздат, 1963. С. 177–261.
- [4] *Давыдовский В.Я.* // ЖЭТФ. 1979. Т. 77. Вып. 2. С. 519–525.
- [5] *Соколов А.А., Тернов А.И.* Релятивистский электрон. М.: Наука, 1983. 304 с.
- [6] *Болотовский Б.М., Серов А.В.* // УФН. 2003. Т. 173. № 6. С. 667–678.
- [7] *Ландau Л.Д., Либшиц Е.М.* Электродинамика сплошных сред. М.: Наука, 1982. 624 с.
- [8] *Шен И.* Принципы нелинейной оптики / Пер. с англ.; под ред. С.А. Ахматова. М.: Наука, 1989. 560 с.
- [9] *Кичигин Г.Н.* // Изв. вузов. Радиофизика. 2005. Т. 48. № 6. С. 502–516.
- [10] *Боровский А.В., Галкин А.Л., Коробкин В.В., Ширяев О.Б.* // Тр. ИОФ. 2000. Т. 57. С. 112–140.
- [11] *Комаров В.Н.* // ЖТФ. 2001. Т. 71. Вып. 1. С. 122–124.
- [12] *Лямов В.Е., Сапогин Л.Г.* ЖТФ. 1967. Т. 37. Вып. 4. С. 624–632.